

第 1 章 可见光多波段通信系统概述

1.1 引言

得益于 LED 灯在照明市场的风行，使得兼顾通信和照明两重功能的可见光通信技术受到了越来越多的关注。基于 LED 的可见光通信因其绿色环保、高速便捷、频谱资源不受限制等优点，极有可能在未来的无线通信中占有一席之地，特别是诸如机舱、医院和矿井这些特殊应用场景下。本章将先介绍可见光通信的基本原理，包括基础硬件发光二极管 (LED) 和光电二极管 (PD) 的基本工作原理及可见光通信系统模型，然后将概述 OFDM 在可见光通信中的应用，并且比较 ACO-OFDM 及 DCO-OFDM 之间的区别，最后将简介自适应传输技术及其在可见光通信中的应用。

1.2 室内可见光通信基本原理

1.2.1 可见光系统模型

与传统的无线通信技术通过调幅、调频或调相技术将信息调制到射频载波上不同，可见光通信利用的是人眼可见的波长在 380 nm 到 780 nm 之间的电磁波来传输信息，并且是使用强度调制 (Intensity Modulation, IM)、直接检测 (Direct Detection, DD) 技术。如图 1.1 所示，在发射端，利用 LED 灯的易于调制性，在线性范围内，LED 的发光强度与输入电流功率成正比，将电信号调制到 LED 发光强度上；在接收端，利用 PD 的输入反向电流功率与接收到的光强成正比的特性，用光电二极管去检测 LED 发光强度的变化，将光信号转换成电信号。如图 1.1 所示，在电信号域 (Electricity domain) 发射端

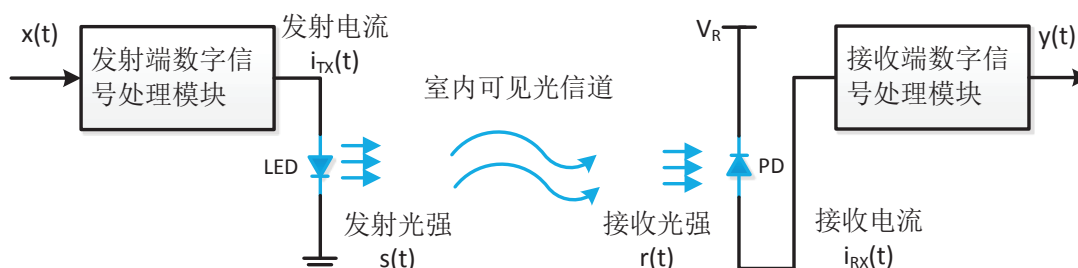


Figure 1.1 光无线通信系统模型

输出电压信号 $x(t)$ 经过发光二极管后变成 LED 的电流 $i_{TX}(t)$ 信号，接收端光敏二极管 PD 输出电流 $i_{RX}(t)$ ，其最后转换成接收信号 $y(t)$ ，在光信号域 (Light Domain)，首先在发射端发光二极管 LED 的电流信号 $i_{TX}(t)$ 转变为发光强度 $s(t)$ ，经过光信道后，在接收端光电二极管 PD 收到的光强信号为 $r(t)$ ，经过光电转换，得到电流 $i_{RX}(t)$ 。所以在实际可见光通信系统中，信号传输由电光变换，光通道传输及光电变换三个过程组成，如图 1.2 所示，接收端信号 $y(t)$ 可以表示为：

$$y(t) = x(t) \otimes h_1(t) \otimes h_2(t) \otimes h_3(t) + z(t) \quad (1.1)$$

其中， $x(t)$ 表示发射端基带电压信号， $h_1(t)$ 表示电光转换系统的时域信道冲激响应 (Channel Impulse Response, CIR)， $h_2(t)$ 表示可见光信道的时域信道冲激响应， $h_3(t)$ 表示光电转换系统的时域信道冲激响应 [1]， $z(t)$ 表示信道加性白高斯噪声 (Additive White Gaussian Noise, AWGN)，服从 $z(t) \sim N(0, N_0/2)$ 分布， N_0 为其功率谱密度， \otimes 表示卷积运算。可见光通信系统的噪声，通常主要由热噪声和散弹噪声 [2]。热噪声是一种高斯白噪声，在传统的射频无线通信系统中是很常见的。散弹噪声也可以建模为白高斯噪声来处理，因为两个独立分布的高斯噪声还是高斯的，故我们可以将系统噪声统一建模为与信号独立的高斯白噪声。

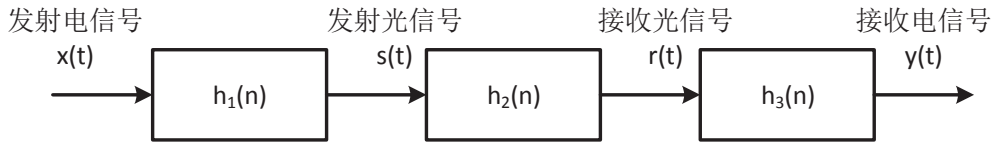


Figure 1.2 光无线通信系统基带处理模型

1.2.2 光电元器件简介

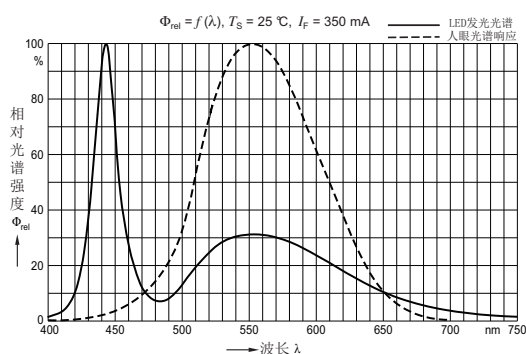
如前文所述，可见光通信与传统的无线通信最大的区别在于调制与信号检测上，射频无线通信必须把基带信号通过调幅、调频或者调相技术调制到高频的载波上，在接收端再下变频得到基带信号。但目前可见光通信器件技术还不能直接去调制光的幅度、频率或者相位，而是使用发射端强度调制和接收端直接检测技术。在发射端，需要电光转换器件将电信号转换成光信号，在室内可见光通信中用到的主要是发光二极管 LED，LED 就是调制器，其工作线性范围是一个非常重要的指标，因为如果输入信号的动态变化范围较大，超出 LED 的线性调制范围，则会发生非线性失真，将严重影响通信性能，在可见光 OFDM 系统中尤其要注意这点，另外，LED 的响应时间是另一个重要指标，响应时间短的 LED 能够被更高频率的信号调制，也就意味着带宽增加、通信速率增高。在接收端，需要光电转换器件将光信号再变成电信号以进行解调解码，目前大量使用的是光电二极管 PD，光电二极管的 PN 结面积相对比较大，以便接收更多的入射光，其在反向电压的作用下，没有光照时，反向电流非常小，称为暗电流；在有光照时，反向电流急速增大，并且在一定范围内反向电流功率与光照强度成正比。本节将详细介

绍发光二极管和光电二极管的通信特性。

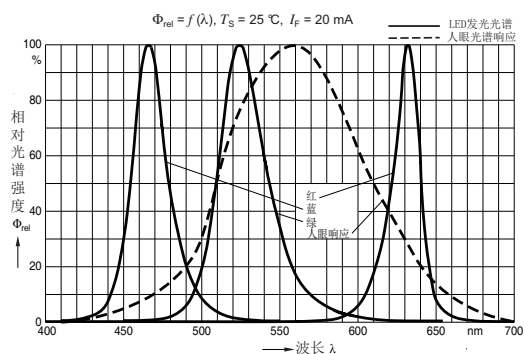
1.2.2.1 电光转换器件

目前在光通信领域使用得电光转换器件主要有激光二极管 (Laser Diode, LD) 和发光二极管 LED 两类, 这两种器件的性质差异很大, 应用场景也不同。激光二极管响应速度非常快, 但是线性区间非常小, 几乎只有关闭和激发两种状态, 而且发光角度较小, 通信时需要发射端与接收端对准, 所以一般用于高速光纤通信中。这里我主要讨论室内无线光通信使用的发光二极管 LED。

发光二极管 LED 是一种掺杂了镓 (Ga)、砷 (As) 和磷 (P) 等化合物的半导体器件, 它跟普通的二极管一样, 具有单向导电性, 内部有 PN 节, P 区含有多余的电子, N 区则有多余的空穴。当给发光二极管加正向电压时, P 区的高能电子与 N 区的空穴结合发生能级跃迁变为低能电子, 根据能量守恒, 其将向外辐射电磁波, 并且包含波长在 380 nm 到 780 nm 之间的人眼可见的电磁波, 具体辐射电磁波的波长主要由掺杂物的种类相关, 这就是 LED 发光的基本原理。



(a) 磷激发型 LED 光谱图



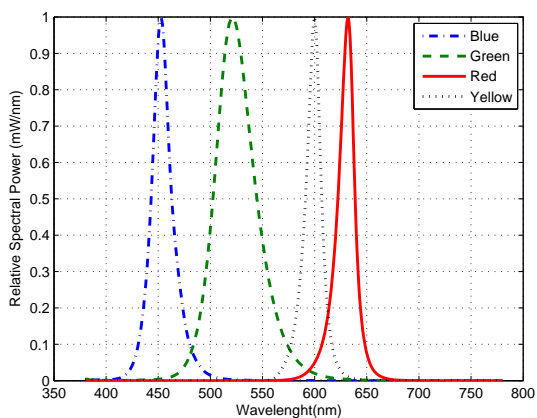
(b) RGB 三原色混光型 LED 光谱图

Figure 1.3 两种白色 LED 光谱对比图

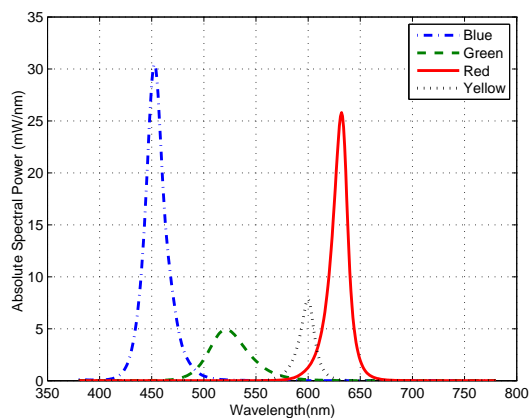
众所周知, 白光是一种混合光, 故我们日常用于照明的白光 LED 灯发出的白光也是由几种光合成的。现在市面上的白光 LED 主要有两种类型。一种是磷光激发型, 由蓝光 LED 激发荧光物质发出黄光, 然后蓝光与黄光混合成我们人眼看到的白光; 另一种是多色混合型, 由多个 LED 发出不同颜色的光直接合成为白光, 这种类型常见的红绿蓝 (RGB) LED 灯内部就含有三块晶片, 分别发红光、绿光和蓝光。图1.3a所示是德国 OSRAM 公司生产的磷光激发型发光二极管 Lighting Plus LE UM S2LN 的相对光谱分布图^[3], 图中峰值位于 445 nm 处的是蓝光 LED 发出的蓝色光波, 而峰值位于 555 nm 处的是蓝光激发荧光物质产生的黄光。因为激发荧光物质发黄光的响应时间过长, 在使用磷光型 LED 进行可见光通信时, 一般同时会在接收端加蓝色滤光片, 滤掉响应过慢的黄光, 所以虽然我们人眼看到的是白光, 但是信号其实只调制在蓝光上, 这就是前文中提到单色白光 LED 通信。图1.3b所示多色混合型 LED 的相对光谱分布图^[4], 其具体型号为 LRTB R98G, 同为 OSRAM 生产。图中可见红绿蓝三种色光的峰值分别位于 635 nm、525 nm 和 465 nm 处, 与磷光激发型 LED 不同的是, 红绿蓝三种色光分别由三种不同

的 LED 晶片产生，都有很好的响应速度，我们可以对这三种色光分别调制，达到同时传输三路数据的目的，这样可以大大加大传输速率，即为前文所述的多色白光无线通信系统，也是本课题主要研究对象。

因为基于多色混合型 LED 的可见光通信系统能将各基色独立调制，总速率为各基色速率之和，所以相对于使用磷光激发型 LED 的单色光通信系统速率优势明显。现在也有专门的公司设计适合可见光通信的 LED，如硅谷光擎 (LED Engin)，其生产了多种通信特性优异的多色混合型 LED，如图 1.4 所示为型号为 LZC-03MA07 的多色混合型 LED 的相对光谱功率分布和绝对光谱功率分布。从图 1.4a 中可以看出该白光 LED 其由四种基色组成，分别为红 (Red)、绿 (Green)、蓝 (Blue) 和黄 (Yellow)，其中黄色有时也称为琥珀色 (Amber)，并且各基色光之间隔离明显，相互之间的干扰很少，同时图 1.4b 说明各基色的发光功率相差明显，在设计多色光通信系统时也可以优化各个基色光发射功率，减少干扰，这个是我们后面研究的内容。



(a) LZC-03MA07 相对光谱功率分布



(b) LZC-03MA07 绝对光谱功率分布

Figure 1.4 LZC-03MA07 光谱功率分布

对于电光转换器件 LED 而言，我们除了要注意体面提到的线性范围和响应时间这两个指标之外，还要考虑 LED 的特性随温度的变化，如图 1.5 所示^[5]，图 1.5a 表明随着温度的升高，LED 的输出光功率降低，但是各基色光功率降低的幅度不相同，其中黄光 (Amber) 下降得最快，单温度升高到 120 °C 时，输出功率降到常温下的 20%；而蓝光 (Blue) 受到的影响较小，功率输出变化不明显。受温度影响的还有各基色的主波长，主波长是指各基色光谱功率分布的峰值位置，如蓝光对应的是 450 nm。如图 1.5b 所示，也是黄光主波长变化最快，波长的漂移将导致接收端的滤光片效果降低，从而限制了总体的接收信噪比 (Signal Noise Ratio, SNR)。故在设计可见光通信系统硬件时也要特别留意给 LED 散热，现在普遍的做法是将 LED 安装在散热面积很大的金属灯头上。

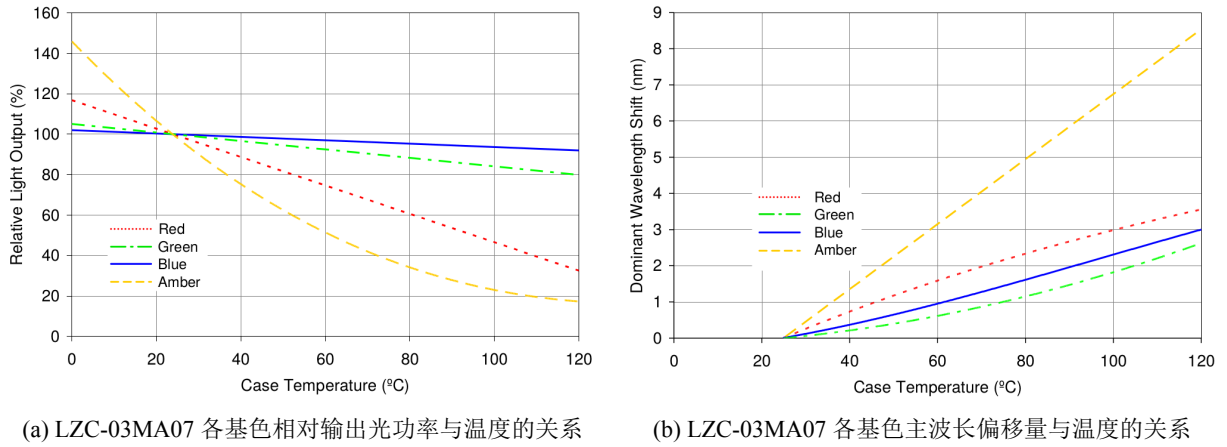


Figure 1.5 LZC-03MA07 特性随温度变化关系

1.3 OFDM 技术在室内可见光通信中的应用

1.3.1 OFDM 技术简介

1.3.2 可见光中的 OFDM 调制

1.4 自适应传输技术简介

1.5 本章小结

参考文献

- 1 杨学成. 高速可见光通信系统设计 [D]:[硕士学位论文]. 南京: 东南大学, 2015.
- 2 陈春艳. 无线光通信调制技术研究 [D]:[硕士学位论文]. 南京: 东南大学, 2014.
- 3 Semiconductors O O. OSRAM OSTAR - Lighting plus LE UW S2LN[G]. 2011.
- 4 Semiconductors O O. OSRAM Multi CHIPLED LRTB R98G[G]. 2011.
- 5 Engin L. High Luminous Efficacy RGBA LED Emitter LZC-03MA07[G]. 2013.

心於至善

